

Theoretische Bodenmechanik mit *Mathematica* Formelsammlung

Jonathan C. Walter, Jonas H. Konrad

14. August 2022

Diese Formelsammlung wurde im Sommersemester 2022 von Jonathan Walter und Jonas Konrad verfasst.
Kein Anspruch auf Vollständigkeit oder Fehlerfreiheit.

Inhaltsverzeichnis

1 Übersicht allgemeine Formeln/Umrechnungen	2
1.1 Allgemeine Annahmen/Gesetzmäßigkeiten	2
1.2 Allgemeine Formel für Klausuraufgaben	2

Todo list

1 Übersicht allgemeine Formeln/Umrechnungen

1.1 Allgemeine Annahmen/Gesetzmäßigkeiten

- Ablauf Spannungsverlauf:
 1. Boden mit vorhandenen Spannungen
 2. Nach Probeentnahme: $\sigma^{ges} = u + \sigma = 0$; σ unverändert
 3. Nach Einbau in Triax und schneller Belastung (undrännert): σ unverändert ; σ^{ges} = vorhandene Spannung + vorgegebener Wert ; $u = \sigma^{ges} - \sigma$
- Bei langsamer Scherung im Wasserbad (drännert) baut sich kein Porenwasserdruck auf: $u = 0$
- $K_0 = 1$ statt $K_0 = 1 - \sin(\varphi)$ als legitime Annahme bei überkonsolidierten Boden

1.2 Allgemeine Formel für Klausuraufgaben

1. Bodenparameter γ , γ' und Kohäsion
 $e = \frac{w\gamma_s}{\gamma_w}$; w = Wassergehalt in %
 $\gamma' = \frac{(\gamma_s - \gamma_w)}{(1+e)}$ oder $\gamma' = \gamma - u$
 $\gamma = \gamma' + \gamma_w$
 C = Fläche oder Länge (3D/2D) $\cdot c_u$
 $OCR = \frac{\sigma_v}{\sigma}$; σ_v = Vorbelastungsspannung ; σ = effektive Spannung
 Bruchwinkel Abschätzung: $\vartheta = 45 - \frac{\varphi}{2}$
2. Bodenparameter mitteln
 Kohäsion: $\bar{c} = \frac{h_1 c_U + h_2 c_T}{\sum h_i}$
 Reibung: $\tan \bar{\varphi} = \frac{G_1 \tan(\varphi_U) + G_2 \tan(\varphi_T)}{G_1 + G_2}$
 Wichte: $\bar{\gamma} = \frac{G_1 + G_2}{\sum A_i}$
3. Effektive (Anfangs-)Vertikalspannung:
 $\sigma_{v0} = h_\gamma \cdot \gamma + (z - h_\gamma) \gamma' + h_c \gamma_w$; z = Tiefe der gesuchten Spannung
 Effektive (Anfangs-)Horizontalspannung:
 $\sigma_{h0} = K_0 \sigma_v$
 Anfangsporenwasserdruck:
 $u_0 = (z - z_{GWSp}) \cdot \gamma_w$
 Gesamtspannung:
 Vertikal und Horizontal zu Spannung aus Erddruck Porenwasserdruck addieren
4. Dissipationsenergie Verformung Boden
 $E = R \cdot s$; s =Deformationstiefe ; R =[S.78-Bodenmechanik]; $E = m \cdot g \cdot h$
5. Winkler-Setzung
 $k_s = \frac{\sigma_0}{s}$
 Dabei gespeicherte Energie: $E^{el} = \frac{1}{2} \cdot B \cdot L \cdot k_s \left[\frac{R}{B \cdot L \cdot k} \right]^2$ (Bsp. Rechteckfundament)
6. Prandtl-Lösung: Streifenfundament auf c_u -Boden:
 $P = (2 + \pi) c_u B$; P =Auflast; B =Auflastbreite; Alternativ: $p = (2 + \pi) c_u$
 Doppelamplitude: $q^{ampl} = 2 c_u^{ampl}$
7. Allgemeine Formel Triaxialversuch:
 Grundsätzlich gilt: triaxiale Kompression $\rightarrow M_C$ ist maßgebend
 triaxiale Extension $\rightarrow M_E$ ist maßgebend
 - $\dot{p}^{ges} = \frac{1}{3}(\dot{\sigma}_1^{ges} + 2\dot{\sigma}_3^{ges})$
 - $|\dot{q}| = |\dot{\sigma}_1 - \dot{\sigma}_3|$
 - $\dot{u} \approx B \dot{p}^{ges} + A |\dot{q}|$

- Δp und Δq berechnen: A und B bekannt, p, q, u ebenso:

$$\Delta p = (1 - B) \frac{1}{3} \Delta q - A \Delta q$$

$$q + \Delta q = M_c(p + \Delta p)$$

$$\Leftrightarrow \Delta q = \frac{q - M_c p}{M_c \left(\frac{1}{3}(1 - B) - 1 \right) - 1}$$

- Kohäsion aus A und B berechnen

Berechnung:

Bekannte Steigung aus $\varphi_s \rightarrow M_c = (6s)/(3 - s)$

$M_{c,neu}$ vorgehen:

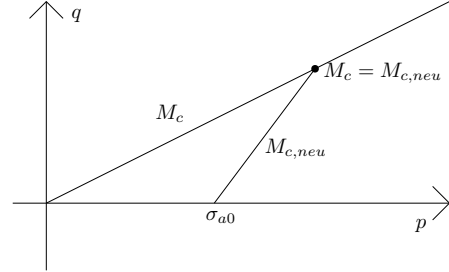
$$1. M_{c,vorläufig} = \Delta_s(aus \varphi_s) \cdot A$$

$$2. M_{c,neu} = \frac{\Delta_{s,Zähler=1} - \Delta_{s,Nenner} \cdot B}{\Delta_{s,Nenner}}$$

3. Ab $p = \sigma_{a0}$ auftragen

4. Schnittpunkt aus $M_c = M_{c,neu}$ berechnen.

$$5. c_u = \frac{q}{2}$$



- Abschätzung maximale Schubspannung: $c_u = \tau_{\max} = \sigma_V \tan(\varphi)$
 σ_V aus Angabe Belastung Knick nehmen.
- Restscherfestigkeit: $\tau = \sigma \tan(\varphi_s)$; σ aus in-situ
- Winkel Gesamtscherfestigkeit: $\sin(\varphi_s) = \frac{\sigma_1 - \sigma_3}{\sigma_1 + \sigma_3}$; mit effektiver Spannung berechnen!
- Undrainierte Schubsteifigkeit: $G = \frac{\Delta q}{3\Delta \epsilon_q}$
- Volumendehnung: $\epsilon_{vol} = \epsilon_1 + 2\epsilon_3$
- Deviatorische Dehnung: $\epsilon_q = \frac{2}{3}(\epsilon_1 - \epsilon_3)$
 \rightarrow Bei undraineden Versuchen gilt: $\epsilon_{2(3)} = -\frac{\epsilon_1}{2}$

8. Anstieg Porenwasserdruck aus zyklischer Belastung: (nach Skempton)

Ermittlung Parameter:

$$B = \frac{\Delta u}{\Delta p^{ges}}; \text{ aus B-Test}$$

\rightarrow B beschreibt Qualität der Sättigung. Perfekt gesättigte Triaxialproben: $B = 1$

$$A = \frac{\Delta u - B \Delta \sigma^{ges}}{\Delta q}; \sigma_1 \text{ oder } \sigma_3 \text{ steigen an}$$

$$\Delta q = \Delta q_{1,2Ende} - \Delta q_{1,2Anfang}$$

$$\Delta \sigma^{ges} = \Delta p = \frac{\sigma_1 + 2 \cdot \sigma_3}{3} (\text{Zustand1}) - \frac{\sigma_1 + 2 \cdot \sigma_3}{3} (\text{Zustand2})$$

$$\text{Für } p^{ges} = \text{const.} \rightarrow \text{pro Zyklus } \Delta u = 2Aq^{ampl} = 2A(\Delta \sigma_v^{ges} - \Delta \sigma_h^{ges})$$

$$\text{Für } q = \text{const.} \rightarrow \text{pro Zyklus } \Delta u = B \Delta p^{ges}$$

9. Konsolidierung - Dissipationszeit Porenwasserüberdruck

$$\text{Barotrope Steifigkeit: } E_s = \frac{\sigma_{v0}}{\kappa}$$

$$\text{Konsolidierungsbeiwert: } c_v = \frac{k E_s}{\gamma_w}$$

$$\text{Dimensionsloser Zeitfaktor: } T_v = \frac{c_v t}{H^2}; t [\text{s}]; h [\text{m}]; H = \text{Drainageweg Wasser};$$

$$\text{Verfestigungsgrad: } \bar{\mu} \approx 2 \cdot \sqrt{T_v} / \pi$$

$$\text{Konsolidierungsgrad: } \mu = \frac{1}{2}(3\bar{\mu} - 1); \text{ Faktor Verfestigung Boden nach } t \text{ Sekunden aus } T_v$$

$$\text{Aufgebauter Porenwasserdruck nach } n \text{ Zyklen-Konsolidierungsgrad}$$

$$= \text{Porenwasserdruck nach } t \cdot n \text{ Wartezeit; } (\Delta u \cdot n) \cdot \mu = \Delta u_{konsolidiert}$$

10. Tresca Kriterium

$$2c_u = (\sigma_{\max} - \sigma_{\min}) = (\sigma_{\max}^{ges} - \sigma_{\min}^{ges})$$

11. Coulomb-Kriterium

$$(\sigma_{\max} - \sigma_{\min}) = (\sigma_{\max} + \sigma_{\min}) \sin(\varphi) + 2c \cos(\varphi)$$

oder

$$\sqrt{(\sigma_{11} - \sigma_{22})^2 + 4\sigma_{12}^2} = (\sigma_{11} + \sigma_{22}) \sin(\varphi) + 2c \cos(\varphi)$$

12. Roscoe Invarianten (Druck p und Deviatorspannung q); ohne Wasserdruck!

$$p = \frac{\sigma_1 + 2 \cdot \sigma_3}{3}, \text{ Auch für } \Delta p^{ges} \text{ verwenden.}$$

$$q = \sigma_1 - \sigma_3 \hat{=} 2 \cdot c_u$$

$$M_C = \frac{q}{p} = \frac{6s}{3-s}; s = \sin(\varphi_s); \eta \text{ beschreibt Steigung Schergerade in } p - q \text{ Diagramm}$$

\rightarrow (dafür die gesamten Spannungen mit abgezogenen u_0 verwenden)

Daraus ergibt sich: $2c_u = \frac{6 \cdot \sin(\varphi)}{3 - \sin(\varphi)} \cdot p$

Spannungspfad startet bei: $p_0 = \frac{1}{3}(1 + 2K_0)\sigma_0$; für $\sigma_v^{ges}, \sigma_h^{ges}$ durchführen.

Für Startpunkt der zyklischen Belastungen die effektive Spannung ($\sigma_v^{ges}, \sigma_h^{ges}$) im Boden benutzen)

A gibt Steigung von $-p$ Sprung an, q^{ampl} die Höhe.

13. Krey-Tiedemann Modell:

$$c_u \approx \sigma'_{VB} \tan(\varphi_s)$$

$$w(z) = \frac{\rho_w V_p}{\rho_s V_s} = e^{\frac{\rho_w}{\rho_s} z}$$

14. Strömungskraftdichte und Porenwasserüberdruck

Hydraulischer Gradient: $i = \frac{w}{k}$

Gradient bei Δh des GWSp mit zwei versch. Schichten.

$$w = k_U i_U = k_T i_T; i_T = \frac{k_U}{k_T} L_T; i_U = \frac{\Delta h}{L_U + \frac{k_U}{k_T} L_T}$$

Strömungskraftdichte: $j = \gamma_w \cdot i$

Gewicht mit Strömungskräfte (Auftrieb): $G = A_1 \cdot (\gamma' - j_1) + A_2 \cdot (\gamma' - j_2)$

Porenwasserüberdruck auf Körper (in Mittelpunkt der Gleitfläche): $u^+ = i \gamma_w x_1$

15. Kompressionsdiagramm auswerten (Abszisse: σ ; Ordinate: $1+e$ Punkt 17 [siehe 1.])

$$\kappa_B = \log\left(\frac{(1+e)_1}{(1+e)_2}\right) = -\kappa \log\left(\frac{\sigma_1}{\sigma_2}\right) \rightarrow \text{Auf oberen flachen Teil durchführen}$$

$$\lambda_B = \log\left(\frac{(1+e)_1}{(1+e)_2}\right) = -\lambda \log\left(\frac{\sigma_1}{\sigma_2}\right) \rightarrow \text{Auf steilen Teil durchführen}$$

Für Punkt z den Wert e berechnen; σ aus Diagramm ablesen; $c_u = \sigma_{VB} \tan(\varphi_s)$

Analytische Lösung: $\ln[e/e_{e0}] = \lambda_B \ln[\sigma_{VB}/\sigma_{e0}]; \ln[e/e(z)] = \kappa_B \ln[\sigma_{VB}/\sigma(z)]$

16. Kräftegleichgewicht

(a) Mit Strömungskraft

$$\text{Eigengewicht: } G = \gamma' \cdot V$$

$$\text{Strömungskraft: } F_s = j \cdot V$$

(b) Mit Porenwasserdrücken

$$\text{Eigengewicht: } G = \gamma \cdot V$$

$$\text{Hydrostatischer Anteil der Porenwasserdrücke: } U = \gamma_w \cdot V$$

$$\text{Porenwasserüberdrücke: (Summe über Ränder) } U^+ = j \cdot V$$

(c) Für beide Fälle zu verwenden:

Reaktionskräfte: Q

Zwischenkräfte: E_{12}

Äußere Belastungen

17. Mohr'scher Spannungskreis

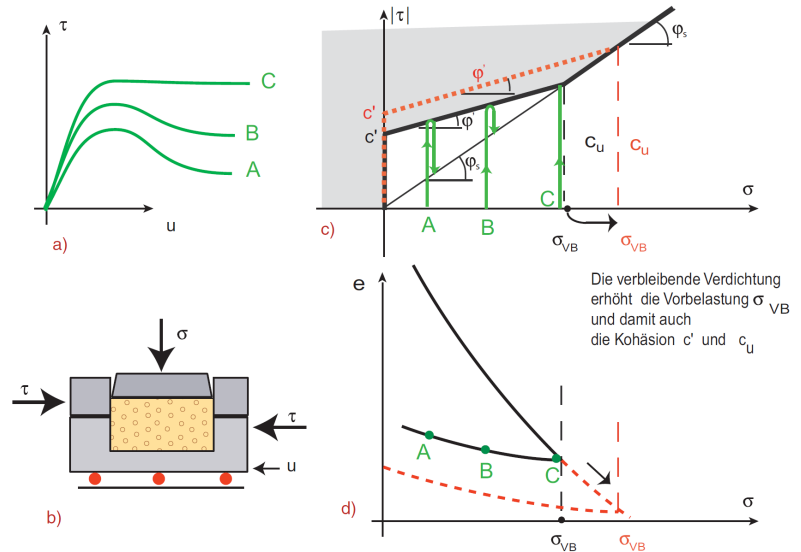
Allgemeine Formeln:

$$\sigma_{11} = x \cdot \gamma' \cdot \beta$$

$$\tau = \sigma_{11} \cdot \frac{\sigma}{\sigma'} \cdot \tan(\beta)$$

Ablauf Krey-Tiedemann:

- φ_s auftragen
- σ_{VB} auftragen und bis φ_s verlängern
- An Schnittpunkt φ' ansetzen und nach links einzeichnen
- mit φ und α den Schnittpunkt mit φ_s bestimmen.
- Dieser Punkt ist τ_{\max} und mit dem gegebenen σ wird ein Kreis innerhalb der φ' konstruiert.
- Schnittpunkt rechte Seite Kreis mit Abszisse ist σ_1



18. Dissipationsenergie D

$$D = |[v_t^k]| \cdot (c + \sigma_{nn} \tan(\varphi) - \sigma_{nn} \tan(\psi)) > 0, \text{ wobei gilt: } [[v_t]] = \cos(\alpha)$$

19. Schräghangaufgabe:

Spannungsberechnung: (x_1 = senkrecht zu Hang gemessen)

$$\sigma_{11} = x_1 \gamma' \cos(\beta) + \gamma_w \cdot h_c$$

$$h_c = z \cdot \cos(\beta)^2$$

$$\sigma_{21} = x_1 \cdot \gamma \cdot \sin(\beta)$$

$$\text{Erforderlicher Reibungswinkel: } \varphi_{erf} = \arctan\left(\frac{\sigma_{21}}{\sigma_{11}}\right)$$

20. Kriechhang, Verdübelung, Verankerung:

- Grundlegende Formeln:

Schubfestigkeit oberhalb Kontaktfläche (ohne Verdübelung):

$$\tau_\alpha = F_1 + G_1 \sin(\beta)$$

G = Gewicht einer vertikalen Bodensäule mit Einheitsfläche 1 m^2 gemessen entlang der Böschung (und nicht horizontal); F = Sickerkraft in dieser Bodensäule.

$$\text{z.B.: } \tau_\alpha = \gamma_w h \cos(\beta) \sin(\beta) + h \gamma' \cos(\beta) \sin(\beta)$$

Diese Festigkeit gilt als Referenz über die gesamte Höhe.

Rest müssen über Dübel (Höhe h und Durchmesser D) abgetragen werden.

Nach Leinenkugel (an Sohle): $\tau = \tau_\alpha (1 + I_v \ln(\frac{1}{n\text{-fach langsamer}}))$

Restliche Schubkraft pro 1 m^2 der Oberfläche übernehmen die Dübel:

$$\tau_D = \tau_\alpha - \tau = \tau_\alpha I_v \ln(n\text{-fach langsamer})$$

Kraft pro Dübel: $p_f \cdot h$

$$p_f = \left[1 + I_v \ln \frac{v_{red}/(a-D)}{\gamma_a} \right] k_0 c_{u\alpha} D ; k_0 = 4,83 \cdot \left[2,76 \frac{D}{a} + 1 \right]$$

a = axialer Abstand quer zur Hanglinie

Verformungsrate: $\dot{\gamma}_\alpha = \frac{v}{h_\gamma \cos(\beta)}$; $h_\gamma = h$ über Kontaktfläche in der kriechenden Schicht.

$$\text{Schlussendlich: } p_f \cdot h = h \left[1 + I_v \ln \frac{v_{red}/(a-D)}{\gamma_a} \right] k_0 c_{u\alpha} D = \tau_D a L ; c_{u\alpha} = \tau_\alpha$$

- Verdübelung eines Hangs:

(h =Höhe Gleitscholle, B =Breite der Zone, D =Durchmesser eines Dübels)

Referenzkohäsion: $c_{u\alpha} = W \sin(\beta)$; $W = \gamma h \cos(\beta)$

Wirkung der Verdübelung pro lfm der Böschungslinie (ohne Seitenkräfte):

$$P_f = B(c_{u\alpha} - c_u) = B(I_v \cdot c_{u\alpha} \cdot \ln(0,1))$$

Schubkräfte auf den Seiten: $H = 2 \cdot 0,1 \cdot c_{u\alpha} h \cos(\beta)$

Notwendige Kohäsion: $c_{u,\text{erf}} = \frac{WB \sin(\beta) - P_f + H}{B}$

Kriechrate des Hangs in der verdübelten Zone:

$$c_{u,\text{erf}} - c_{u\alpha} = I_V c_{u\alpha} \ln(v/v_\alpha) ; v = v_\alpha \exp \left[\frac{c_{u,\text{erf}} - c_{u\alpha}}{I_V c_{u\alpha}} \right]$$

Sicherheitsabstand für Knopflochlösung: $x = v \cdot t$

- Ausführung mit Vakuum-Vorbelastung:

I_V berechnen: $\frac{\dot{\gamma}_a}{\dot{\gamma}_b} = \left(\frac{c_{ua}}{c_{ub}} \right)^{1/I_V} = \left(\frac{\tau_{ua}}{\tau_{ub}} \right)^{1/I_V} ; \dot{\gamma}_{a,b}$ = Verformungsraten Boden vorher/nachher

OCR berechnen: $OCR = \frac{\sigma_{11} + \Delta\sigma_{11}}{\sigma_{11}}$

n-fache Bremsung der Kriechrate: $n = \left(\frac{OCR_a}{OCR_b} \right)^{-1/I_V} = \left(\frac{1}{OCR} \right)^{-1/I_V}$

Normale Komponente nach der Belastung: $\sigma_{11,\text{nachher}} = \sigma_{11} \cdot OCR$

Schubkomponente: $\sigma_{21} = \sigma_{11} \cdot \sin(\beta)$

$$\sigma_n = \sqrt{\sigma_{11}^2 + \sigma_{21}^2}$$

$$m = \frac{\sigma_n}{\cos(\beta)} ; r = \sigma_n \cdot \tan(\beta) ; \sigma_1 = m + r ; \sigma_2 = m - r ; \sigma_3 = \sigma_2$$

$$p = \frac{(\sigma_1 + \sigma_2 + \sigma_3)}{3} ; q = \sigma_1 - \sigma_2$$

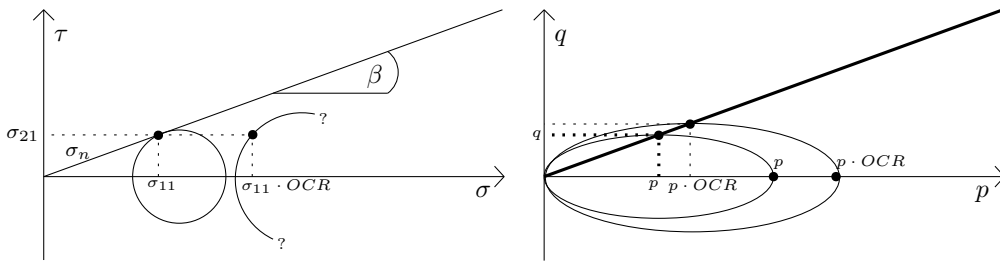


Abbildung 1: Links: Mohr'scher Kreis vor und während der Vorbelastung.

Rechts: Spannungszustand und Vorbelastungsflächen vor und nach der Vorbelastung